

## X線マイクロアナライザーの完全自動化システムの開発

Development of Fully Automatic Control System of X-ray Microanalyzer

安 部 忠 廣\*  
Tadahiro Abe森 本 一 三\*\*  
Kazumi Morimoto鈴 木 健一郎\*\*\*  
Ken-ichiro Suzuki若 林 忠 男\*\*\*\*  
Tadao Wakabayashi小 柳 和 夫\*\*\*\*  
Kazuo Koyanagi川 口 博 巳\*\*\*\*\*  
Hiromi Kawaguchi

## Synopsis:

trolled automatically has been developed for a continuous, unmanned, operation with marked efficiency improvement. The main features of this system are as follows:

る。さながらにして、本旨的にはやはり従来の手作業による一タの労働時間と合わせて装置の稼動時間は、これまでよりも短縮された。したがって、効率化を図ることによって、これまでの活動性をもつて、常に用意される。

### 人手軽が可能な装置が要求される

そのため筆者らは、電子線系の制御からデータ解析にいたるすべてを自動化させ、夜間や休日も無人で連続分析ができるいわゆる完全自動化システムを開発した。

ここでは、このシステムの内容と鉄鋼試料への応用例を紹介する。

### 高精度の分析ができるもの

- (6) 十分な安全保護装置を具備することなどである。それらの項目は、(1)、(2)、(3)、(4)、(5)の各項と並んで、(6)の項目をもつて構成される。

に解決して本システムを完成させたものであり、以下その概要を説明する。

**Photo. 1** に装置の外観、Fig. 1 にシステムの構成を示す。本システムは、従来の X 線マイクロアナライザー(以下 EMX-SM と記す)の主要構成部すなむち電源コンソール(B)、マイクロアナライザ本体(A)、記録・EBS コンソール(C)、以

外(D)、テレタイバード(F)、CRT ディスプレイ(G)およびハードディスク(H)、シミュレータ(J)などを組合せている。

長時間連続運転のためには、できるだけ多くの蓄積を計測に供給できるよう、DDR RAM

## 2. システムの概要

システムの設計に当たって特に留意した点は、(1) 分析位置や分析条件などの設定を効率よくして装置の稼動率を上げ、それを高めること。

### (2) 多数個試料(少なくとも 1 晩分の試料)の同時に

SM では、同時に 1 装置で多量の試料を分析する。

切换ができます。しかし、すべての分析位置がフリーで操作が可能であることを。

(3) 長時間安定性がよいこと。

(4) 通常行われているすべてのマイクロアナライ

ゼー標準試料用ホルダーを含めて 6 個なので、特殊な機構を考案して、23 個の試料ホルダーが装填できるようにした。このようにすると、たとえ 1 試料で 1 箔所だけを分析する試料ばかりであっても



所の絶対位置を表示する。

したがって実際の分析操作は、まずシミュレータで分析場所を選択するかまたはあらかじめ指定された場所を検索する。そしてその絶対位置と合

法を採用した。

#### (1) フィラメントの加熱

無人連続運転を達成させるために、加熱電圧が

析条件を对话方式で順次コンピュータに指示する  
と同時に試料は観察に適するマクロスコ

命が長くなければならない。フィラメント電圧の  
設定時間は約10分である。

ンを押すと、後は自動的に順次分析されて、その結果は指示どおりCRTディスプレイ(ハードコピ), テレタイバ, 250枚撮りの自動カメラあるいはペンレコーダに表示記録される。

このように試料は次々と連続的に分析されス

設定しておき以後は電源のon-offのみを操作させる方法と、照射電流の変動分をフィラメント電源にフィードバックさせる自動設定方式を検討したが、費用のかからない前者の方式で十分実用

そのときのプログラムは、X線マイクロアナライ

時最適加熱電圧に設定できるので、過電圧のかか

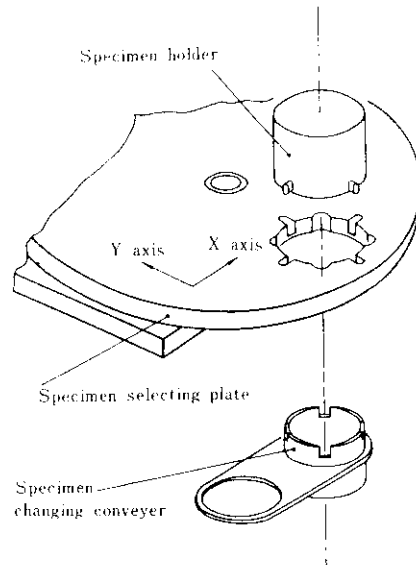
ここでは高速応答性は必要ないので、制御が容易な電磁偏向方式を用いた。

### 3・2 観察光学系

観察光学系は、一般に試料分析場所と試料の上下位置の設定のために使用されるが、特に後者用に波長分散式のX線分光器を用いる場合は厳密な精度が要求される。無人運転時には従来の目視方法は採用できないので、コンピュータで制御させ、しかもソフトウェアを工夫して十分な精度が得られるようにした。必要に応じて、コンピュータ制御による自動運転中にも分析位置を確認できる。

### 3・3 試料微動系

このユニットは、本システムの中でも最も特徴的な部分である。図3-3に示すように、試料ホルダ



**Table 1 Main specification of the specimen stage**

Specimen feeding range	X-axis 0~25.4 (mm) Y axis 0~25.4 (mm) Z axis +2~+130 (mm)
Number of specimens	23 pieces

スによる自動運転であるが、このときのシーケンスが一定時間内に終了しない場合は、emergency信号を発生しシーケンスを中断する。マニュアルモードでは各駆動部をパネルの押しボタンスイッチで操作できるが、マイクロスイッチによるインターフェースが機械的なオペレータの手を過度に使

モータとエアーシリンダを使い分けたのは、前者では動作速度制御が容易であること、後者では停止位置の設定が容易であることに着目したためである。このX線分光器は、X線マイクロアナライザーにおいて最も重要な部分であり、このユニ

カメラのフィルムを捲き上げる。また電子ビームの移動については、X・Y軸ともに10bitのD・Aコンバータを用いているので、CRT画面上で1024×1024点の位置制御ができる。CRT表示制御部は、電子線操作制御部の電子ビームの走査あるい

そのために、自動化の部分だけでなく分光系全体の部品についてまで検討を行い、分析精度、特に波長再現性について評価した。すなわち2箇月間にわたる耐久試験の結果、波長再現精度の要求が

す機能と、入力信号に応じてCRTビームの輝度変調を行う機能、それに写真整理のためにCRTラスターの一部に数字を表示する機能を有する。ここでコンピュータ制御されるのは、この数字表示と

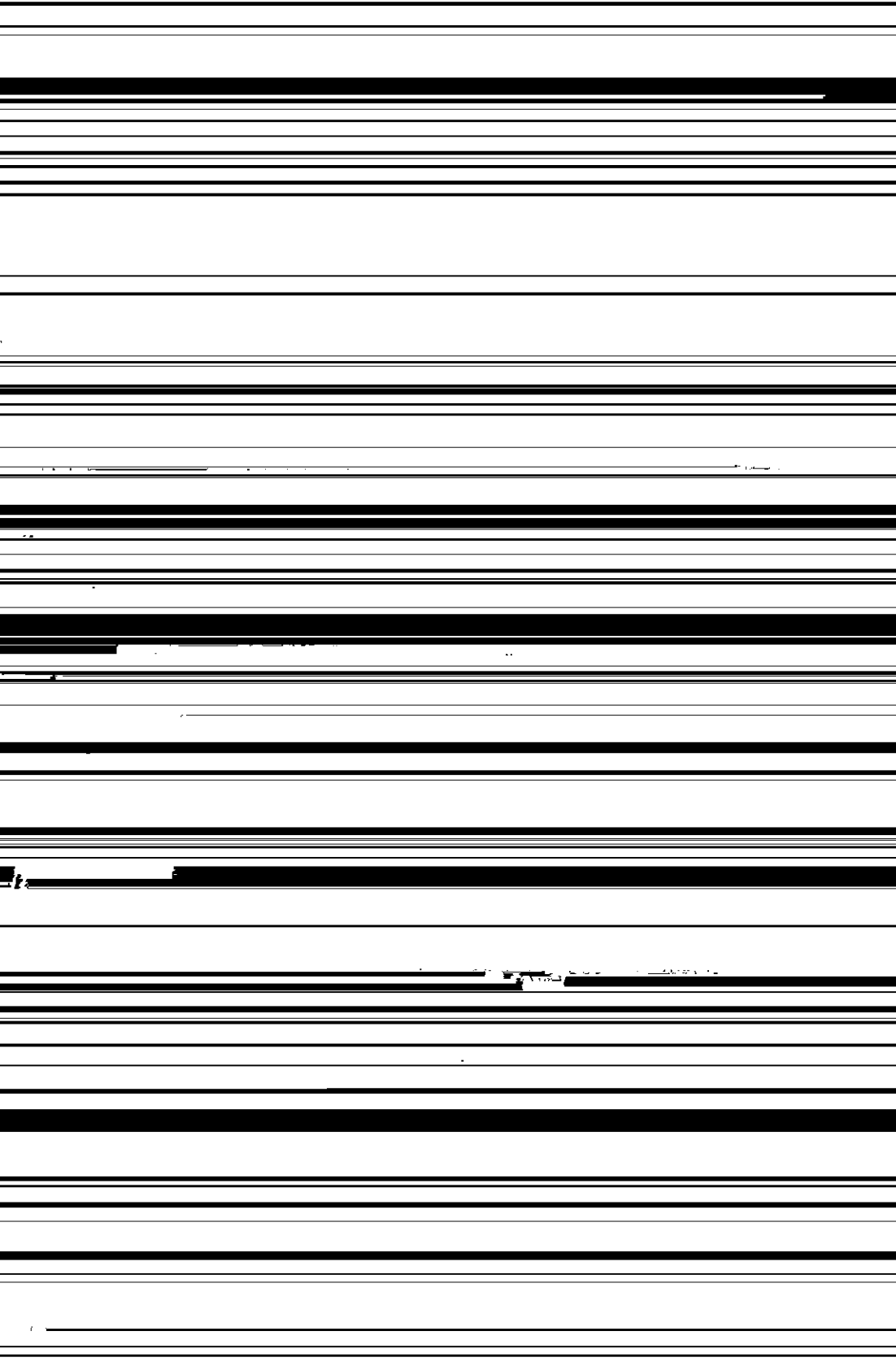
ログ表示するユニットである。またX線信号だけ

シミュレータはX線マイクロアナライザーの本

てたる主な機能を備え、試料の分析位置を決定するための機能をもつ。

信号もV-Fコンバータを通して計数率とし、表示あるいは出力させる機能も持っている。これらの計数には、X線信号計数とは別のもう一つの計数ユニットを設けて、信号の種類に応じて入力側で切換わるようにした。ここでコンピュータ制御

にも接続していない。このユニットの機能は、先に述べたように、X線マイクロアナライザーに装填される試料の分析すべき位置をあらかじめ決定するためのものであり、X線マイクロアナライザーと同じ構造の光学観察系、試料微動系(20個試



Sophistication      Low      High

グラム - ターを回復するための方法を示す。

ンプログラムは、大きく分けて三つのレベルで分けられ、分光波長自動決定機能、電子光学系自動制御機能、

ブルの管理と運転、入出力、キャリブレーション、定性分析元素のスキャニング順自動選択機能、定量分析位置自動選択機能などがある。

レベル2は、定量補正計算処理、マッピング作成処理などの実行レベルである。この部分は任意に書換えられるようにBICOMSに管理権をあずけている。

Fig.4に、コントロールプログラムとBICOMS(OS)との関係を示している。すなわち二つのモニタープログラムは表裏の関係をなしており、テレタイプにキーワードを入力することで交互に反転させることができる。

前記レベル0における部分的、自律的な制御の例として、画像解析による分析位置決定機能について述べる。Fig.5にそのフローチャートを示すが、まずX線マイクロアナライザ本体のビーム位置を偏向コイルによって、規則正しく2次元に移動させながら、2次電子線あるいは特性X線の強度を測定していく、そのデータを記憶する(分析領

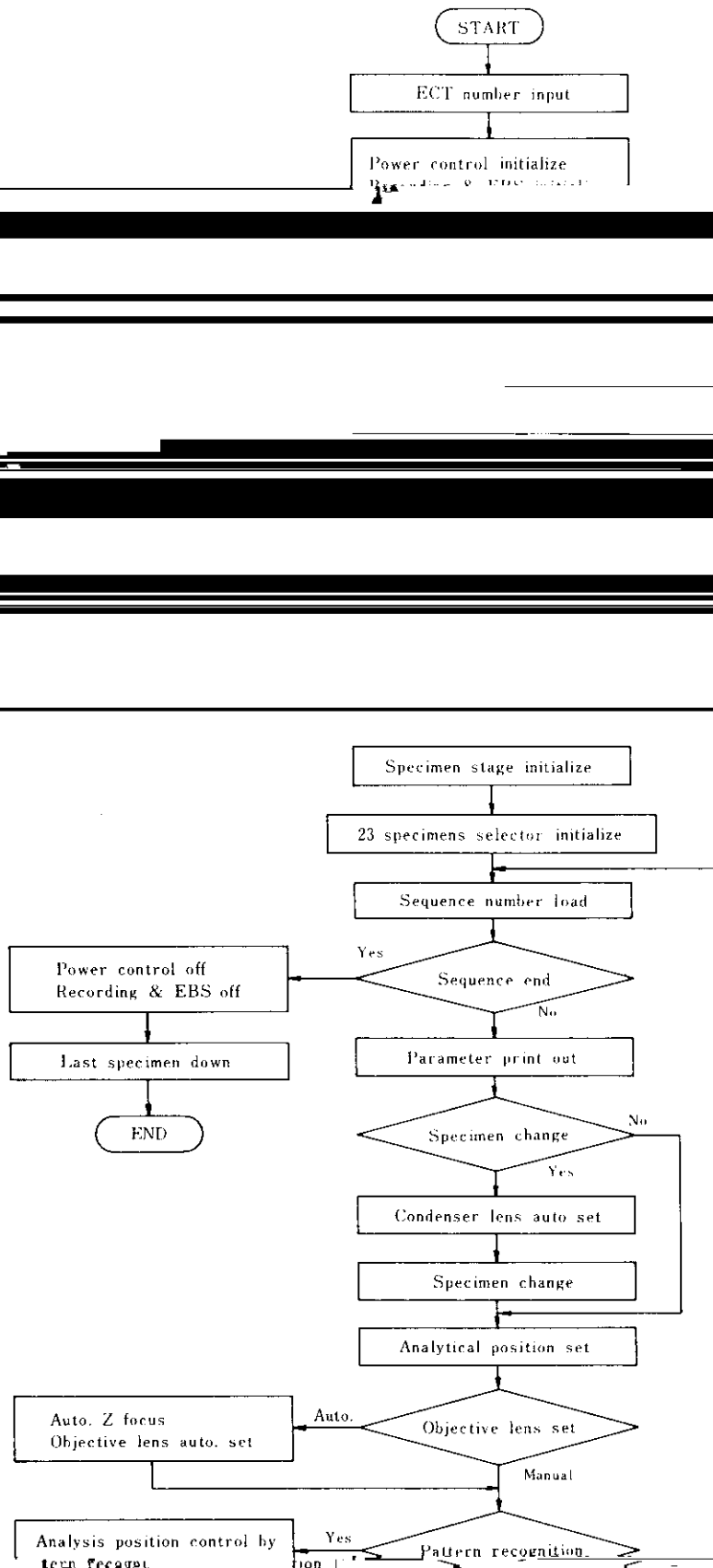
域)、データの集合をパターンとして分離する。この集合についてそれぞれの辺縁長を求め、通常は最大の辺縁長をもつ集合体が分析目的物かあるいは基準位置になっているので、その集合体の重心位置を計算し、この重心位置を電子ビーム中心位置にフィードバックして、必ず電子ビームの中心に目的場所が来るよう試料を移動させる。もちろん最大辺縁長のものだけでなく、平均的なものや最短のものも選択することができる。

レベル1においては、Fig.3の左に示すような各種のテーブルがある。無人運転時の中心的機能を果たすのはイベントコントロールテーブル(ECT)であり、マシンコントロールテーブル(MCT)、データエリアコントロールテーブル(DCT)、カルキュレーションコントロールテーブル(CCT)およびディスプレイコントロールテーブル(OCT)をシーケンシャルに選択できる。このECTは10テーブルより成っており、各テーブルは20組のシーケンスをもっている。その他のテーブルはそれぞれ200テ

合は、2次電子線しか使用できない)。そのようにして得られたメッシュデータを微分し、微分値の上限と下限からイメージのスレッシュホールドレ

ナライザーの制御入出力をつかさどり、ここに試料位置X,Y,Z軸、試料番号および分析位置番号、X線分光器分光波長位置(波長、原子番号あるいは

したがって、上記諸テーブルのすべてを設定する  
こと、23個の試料について種々の分析ができる。



どが正しくセットされる。そこで測定条件や分析方法を調べて対応する処理ルーチンにより測定、表示が行われ、その場所での指定された分析が終わると、次のショーケンスを調べて次の場所または試料が分析される。このようにしてすべてのショーケンスが終了すると、データ整理用のプログラム

## 5. 応用例

本システムの応用例として、鉄鋼試料について分析方法別に紹介する。

シート加熱および加速電圧を offにしてプロファイルを完了する。

EBS像の一例として、Photo. 4に鋼中非金属介在物の面分析の結果を示す。写真整理用の数字

No. 14 の供試材の表面の元素分析のため、EBS 用の分析装置を用いて、元素分析を行った。

在物で、(a)は 500 倍の 2 次電子線像、(b)～(f)は同じ倍率の Fe, Ca, Al, Mg, O の特性 X 線像であることがわかる。この EBS 像は 250 枚撮りのフィルムで撮影されるが、必要に応じて適当な時にフィルムを切って写真処理をする。

## 5・2 線 分 析

し、元素名とピーク強度およびバックグラウンド強度が印字される。このときもちろん重畳効果の影響は考慮されている。

Table 5 にステンレス鋼の分析結果を示す。

Full scale  
Fe : 20 000 CPS  
Ca : 20 000 CPS

Fig. 7 は、Photo. 4 の非金属介在物の 2 次電子線像(a)に示す位置での線分析の結果で、分析元素

Mg : 10 000 CPS  
O : 1 000 CPS

Ca

#### 5・4 定量分析

12 > 10 000  
[ ] A.I.Q. K<sub>β</sub>

ワトを測定するので、高度な波長再現性が要求さ

完全混合モデルの解析では不十分であることを意

む。そこで、各分析点における波長再現性を評価するため、各分析点における波長再現性を評価する。

してはなおさらである。本システムでは分光器ももちろんコンピュータで精度よく制御されているので、この例でも目標波長位置正確性は0.0005 Å

このような分析（この場合は分析点40×40で、1点あたりの積分時間10 s）には、従来の装置では実現不可能であった目標波長正確性を達成

フが得られる。

そのうえ、電子線系や試料ステージなどが厳密に制御されているので分析精度もよく、この例でも各分析点のP濃度の平均値は0.098%であり、

設定するだけで後は自動的に分析されるので、熟練技術者を必要とした作業が簡素化され、しかも夜間や休日も無人運転ができるので能率は3倍以上向上する。特に、従来測定・解析に膨大な時間

## 6. むすび

X線マイクロアナライザーを有効に活用するために、電子線系の制御からデータ解析まですべて

マッピングが、極めて簡単に作成できるようになった効果は大きい。

そのうえ、X線マイクロアナライザーの各機能が厳密に制御されているので操作上の誤差要因が減少し、それとともに種々の補正が可能になるの